

Fig. 1

2/11

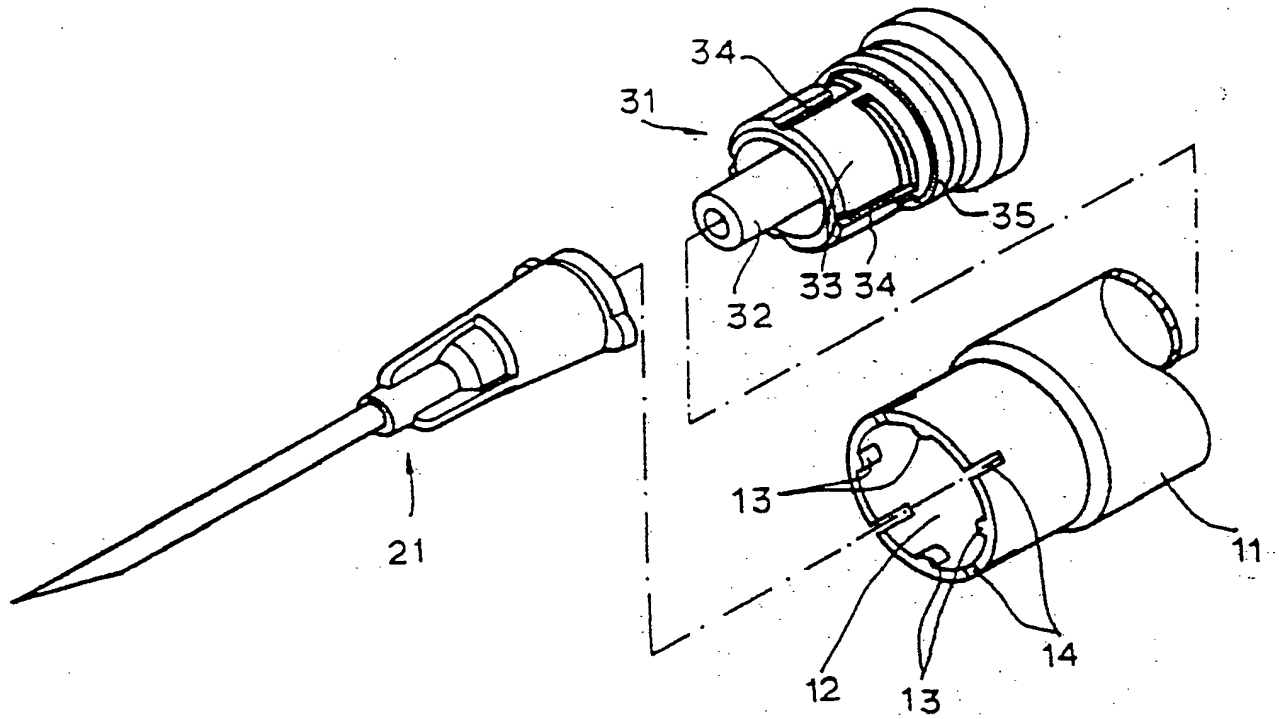


Fig. 2

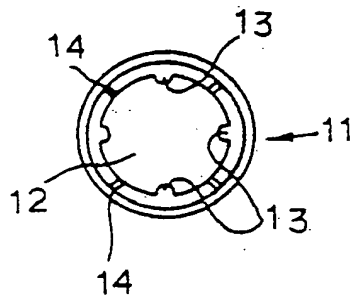


Fig. 3

3/11

Fig. 4

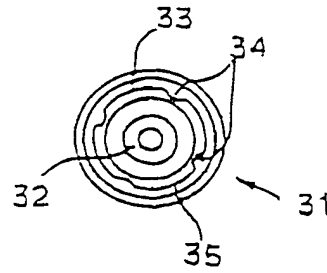


Fig. 5

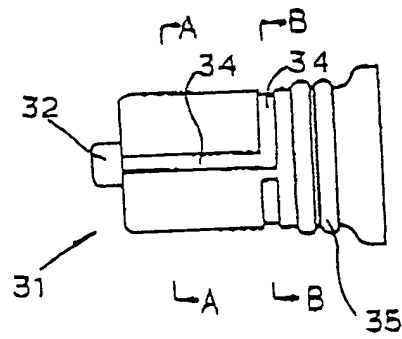
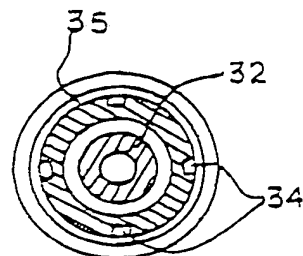


Fig. 6



4/11

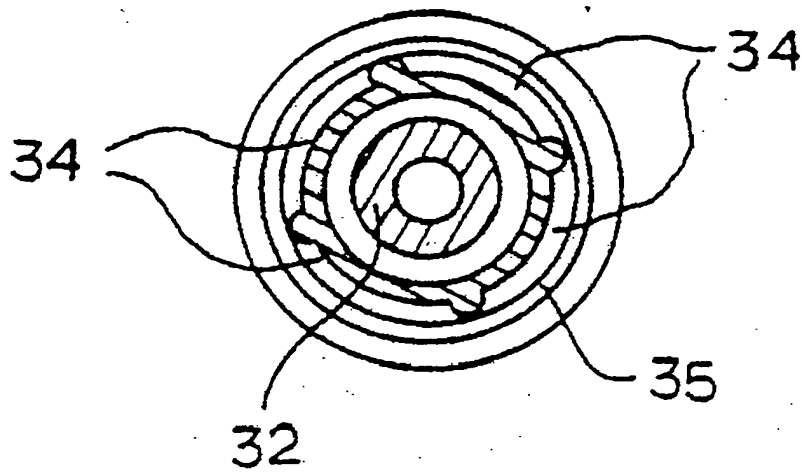


Fig. 7

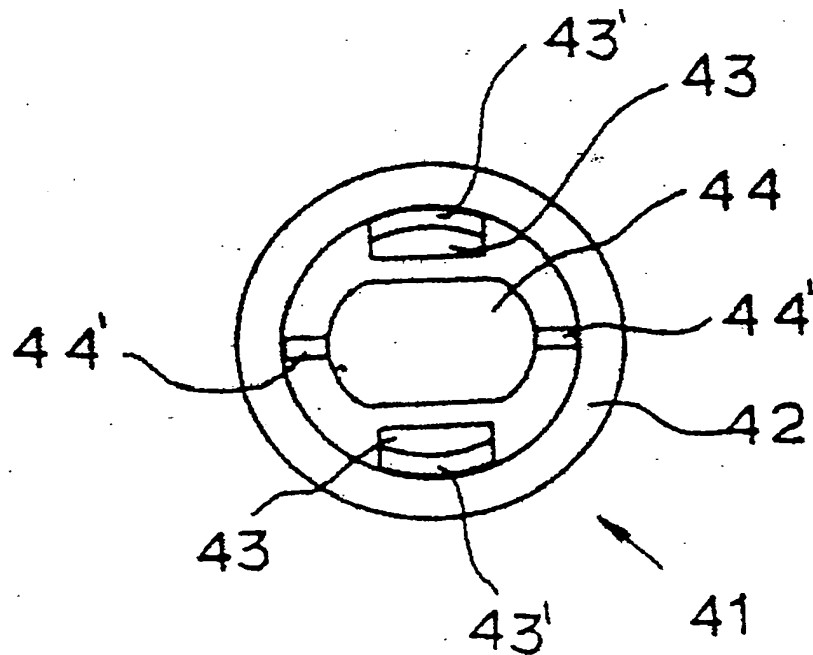


Fig. 8

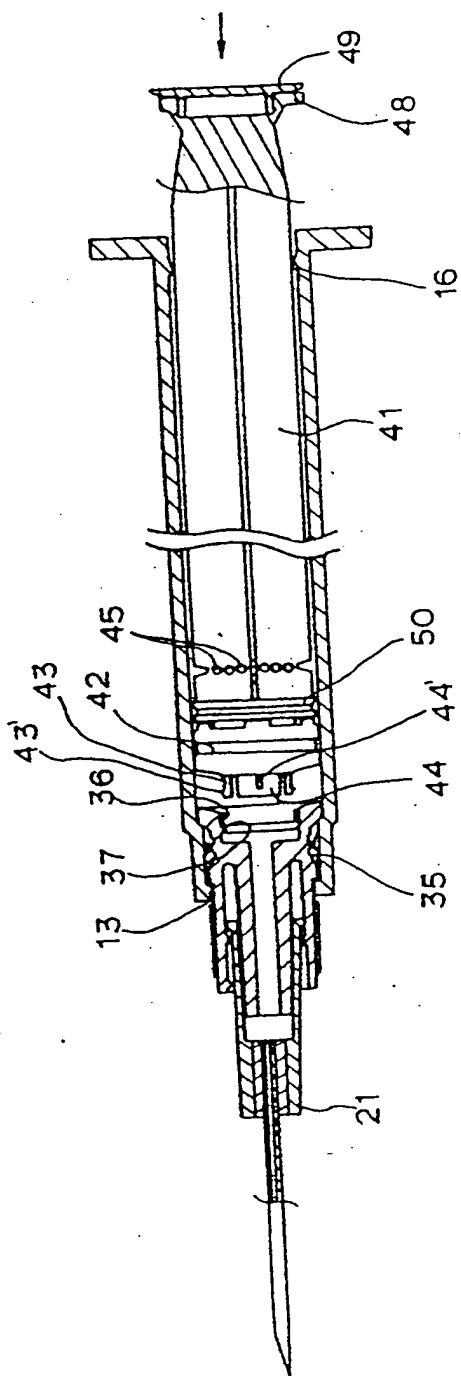


Fig. 9

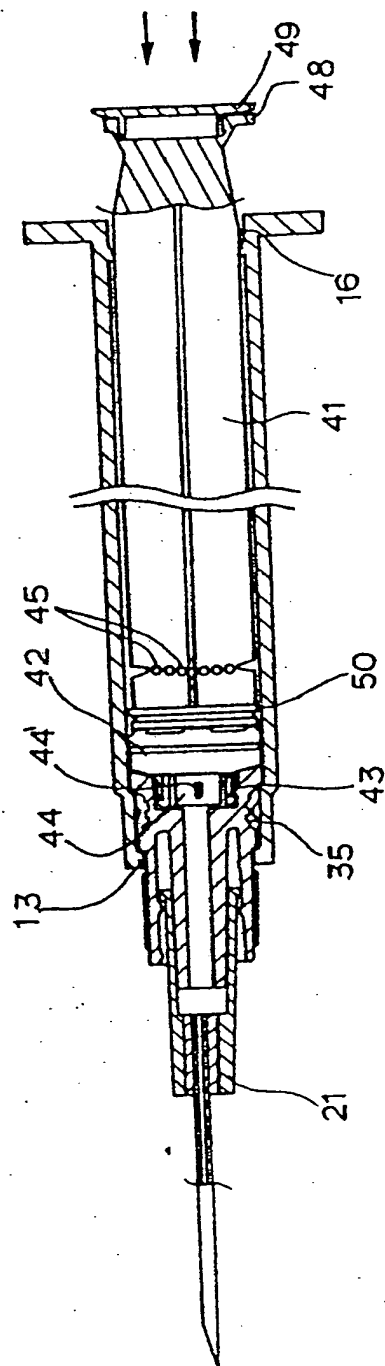


Fig. 10

6/11

27 Jun 2020

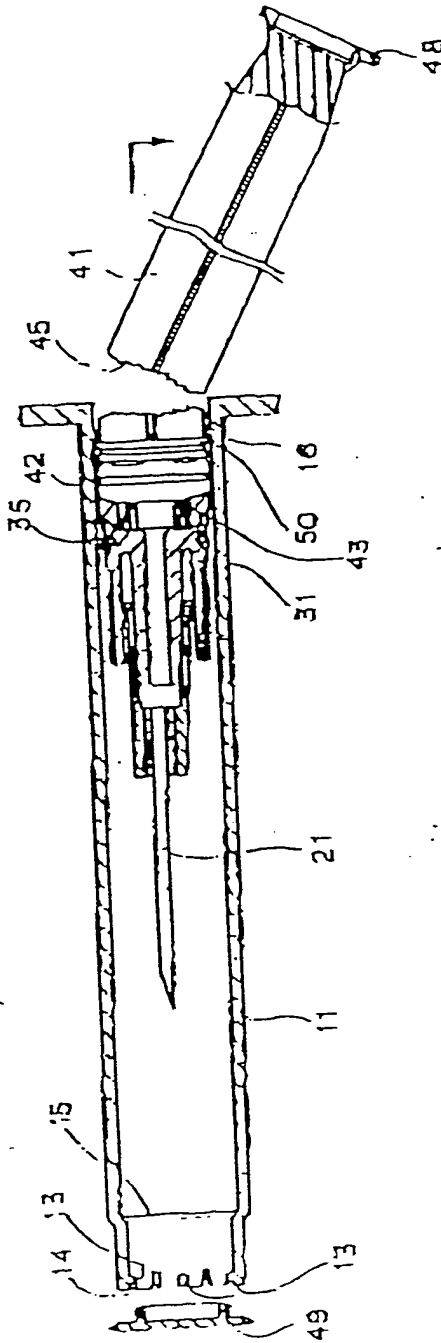


Fig. 11

7/11

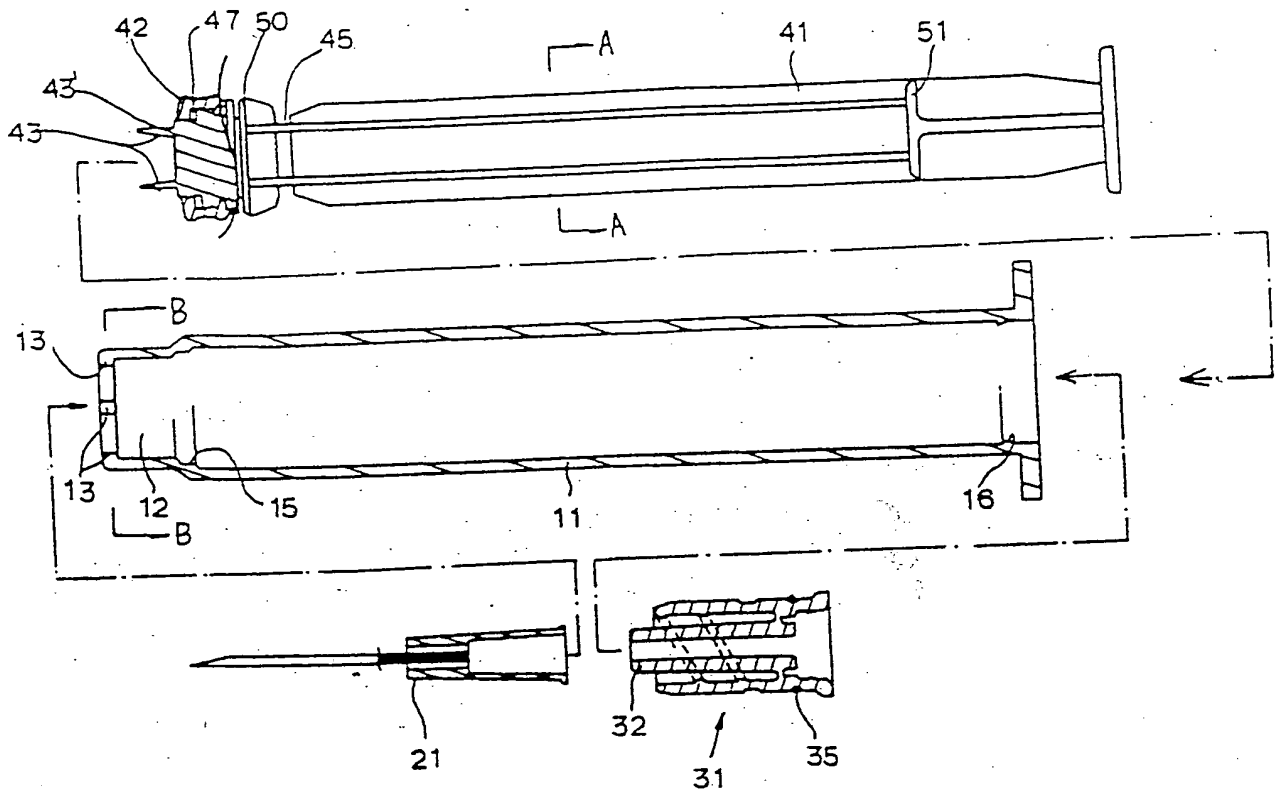


Fig. 12

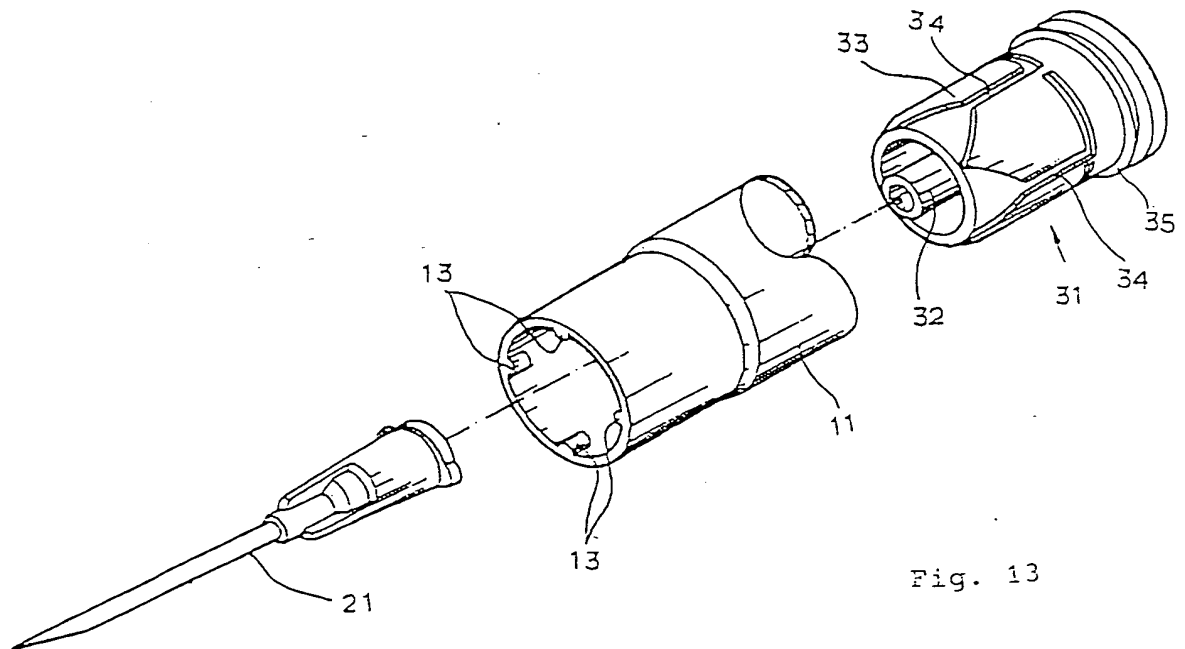


Fig. 13

27. Juli 2000

8/11

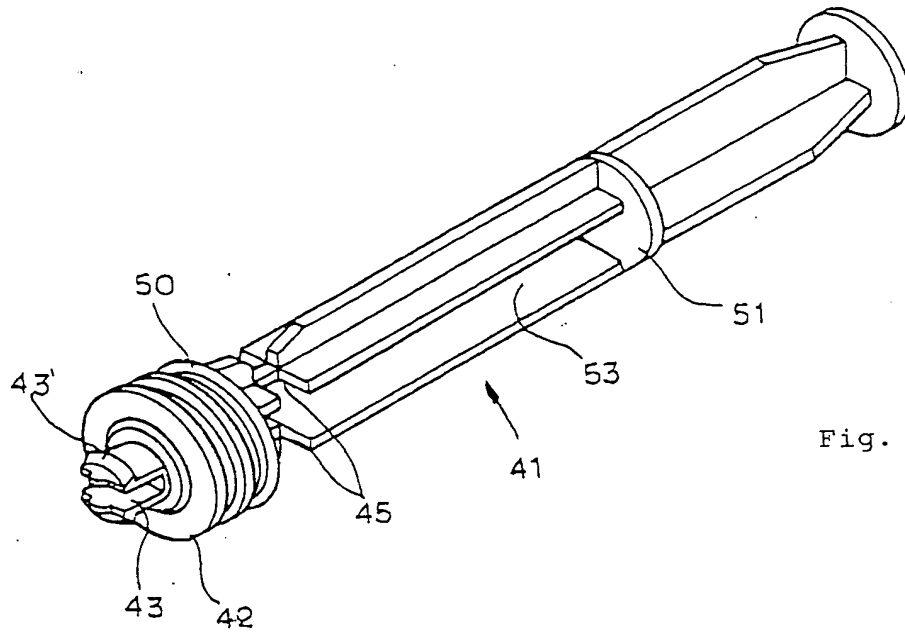


Fig. 14

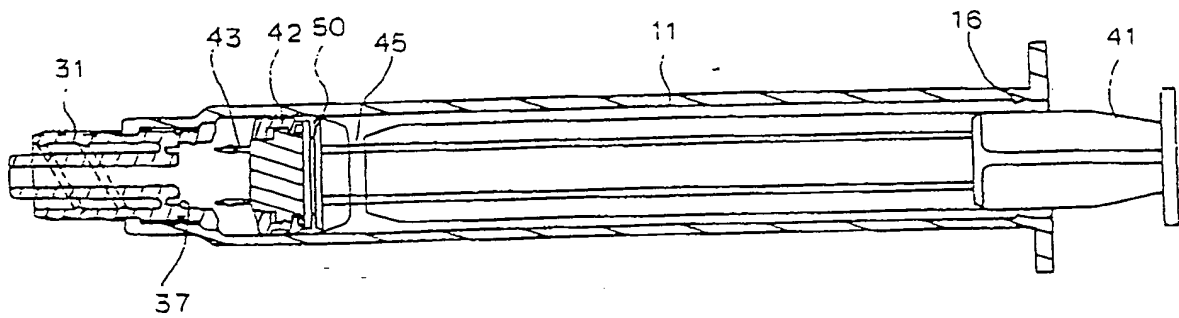


Fig. 15



9/11

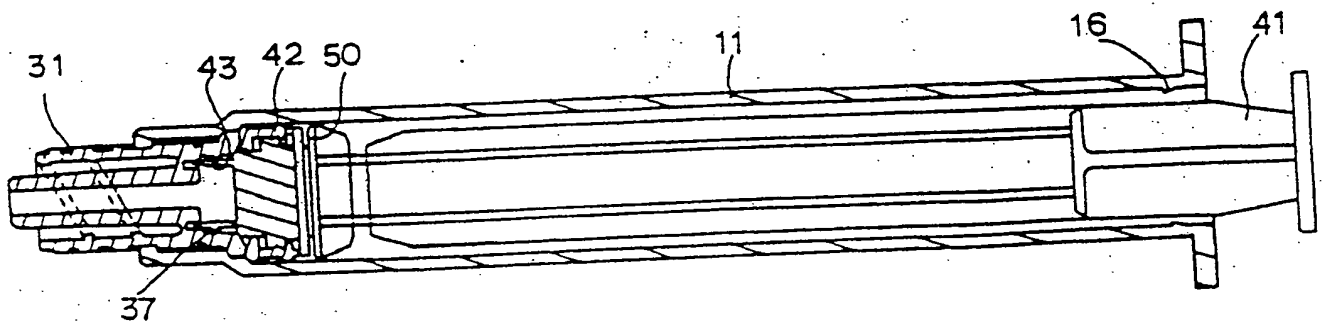


Fig. 16

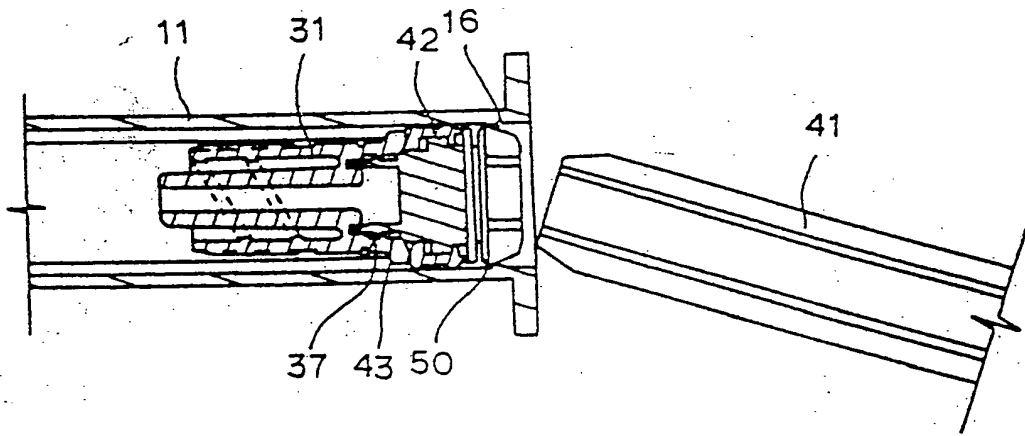


Fig. 17

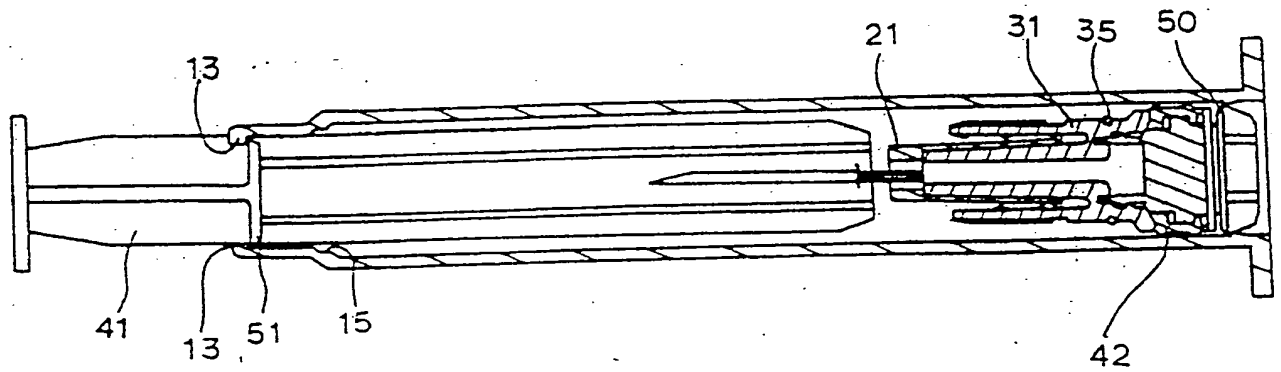


Fig. 18

27. Juli 2000

10/11

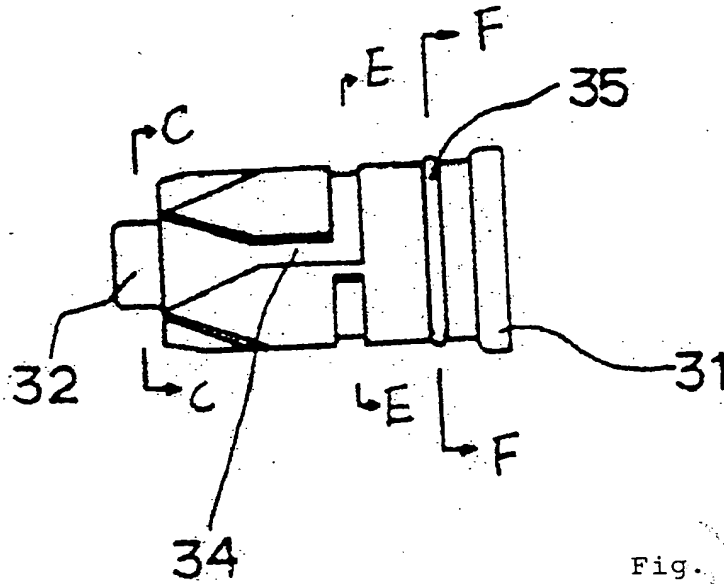


Fig. 19

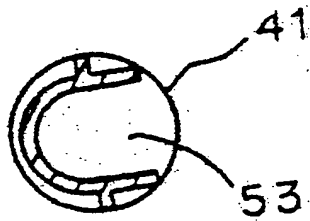


Fig. 20

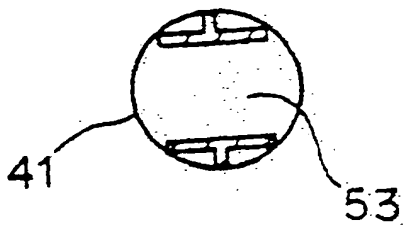


Fig. 21

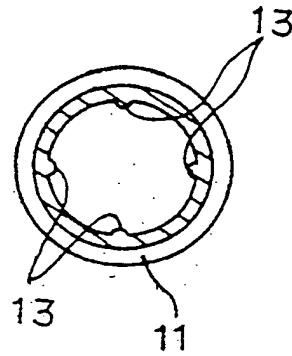


Fig. 22

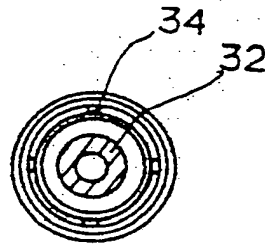


Fig. 23

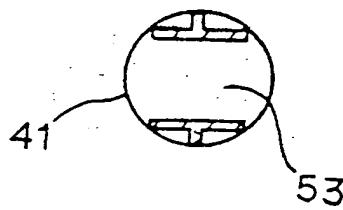


Fig. 24

